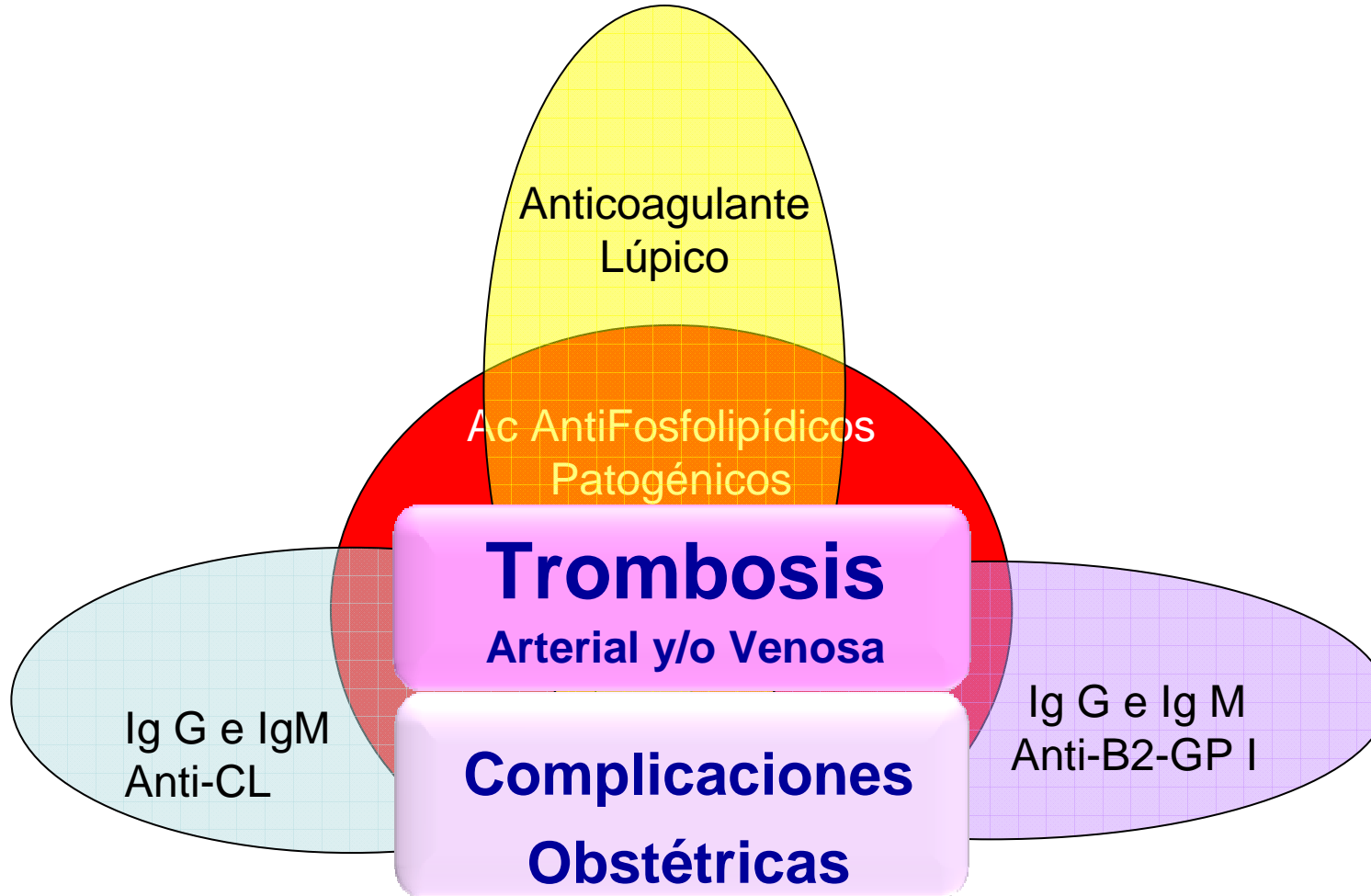




Enfermedades Autoinmunes Sistémicas
¿cómo lo hacemos en Aragón?

**Utilidad Clínica del perfil de
Anticuerpos Antifosfolipidos**

Síndrome Antifosfolípido



Clasificación por grupos de riesgo

- “Second - hit” hipótesis:
 - Estratificación de riesgo de trombosis por FR C-V
- Combinación de “criterios de laboratorio”:
 - **I** (+ de 1) / **IIa** (AL) / **IIb** (ACL) / **IIc** (AB2-GPI) Sydney 2006
 - Triple positivo alto riesgo (Pengo et al)
 - Alto y Bajo Riesgo (Galveston 2010)
 - ↑ AL positivo
 - ↑ Triple positivo (LA + aCL + anti-b2-GPI)
 - ↑ aCL persistentemente positiva a títulos medios-altos*
 - ↓ aCL o antiB2-GPI (+) aisladas a títulos medios-bajos
- GAPSS (Global Anti-Phospholipid Syndrome Score) en LES (2013)
 - + Hiperlipidemia (3) + HTA (1)
 - + ACL (5) + AB2-GPI (4) + AL (4) + APT/PS (3)

Objetivos del estudio

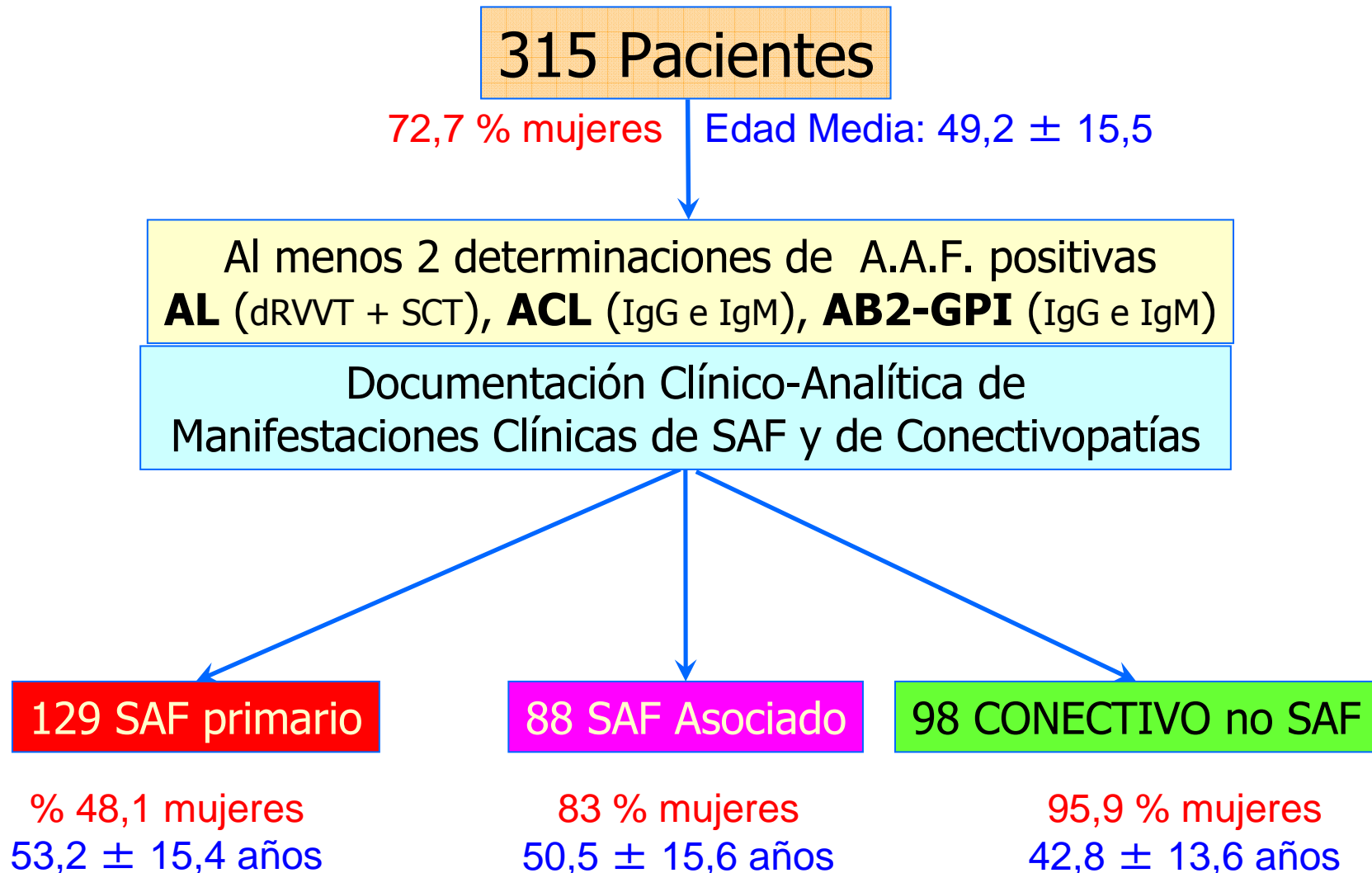
- **Comprobar en nuestro medio la asociación entre los AAF y las manifestaciones clínicas del SAF**
 - Trombosis Venosas (TVP-TEP) y/o Arterial (ACV/IAM)
 - Complicaciones Obstétricas: Abortos 1T /P. fetales
 - Edad de presentación de Trombosis
 - Tiempo hasta Retrombosis
- **Establecer diferencias entre grupos de pacientes:**
 - SAF 1º /SAF-asociado / Conectivopatías No SAF
 - SAF Trombótico / SAF Obstétrico
- **Identificar en nuestro medio perfiles de riesgo de las diferentes combinaciones de AAF**

Material y Métodos

- **Estudio prospectivo de pacientes**
 - Remitidos a Hematología (UC) por sospecha de Trombofilia
 - resultado AAF + (AL y/o ACL y/o AB2-GPI)
 - Revisados en UEAS (M.I.) por Conectivopatía Conocida
- **Anamnesis Clínica de:**
 - Eventos trombo-embólicos previos
 - Complicaciones obstétricas previas
 - FR protrombóticos arteriales y venosos
 - Ttos actuales y en el momento de los eventos trombóticos
- **Documentación clínico-biológica de Conectivopatía**
- **Revisión y Estudio en Laboratorio Hematología:**
 - AL (LAC y SCT), ACL (IgG e IgM) y AB2-GPI (IgG e IgM)
 - 2 Determinaciones (> 12 sem)

6 test
x 2

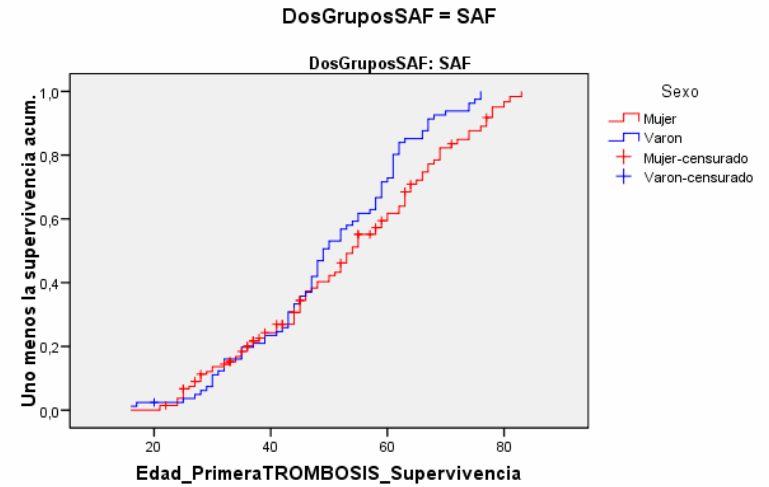
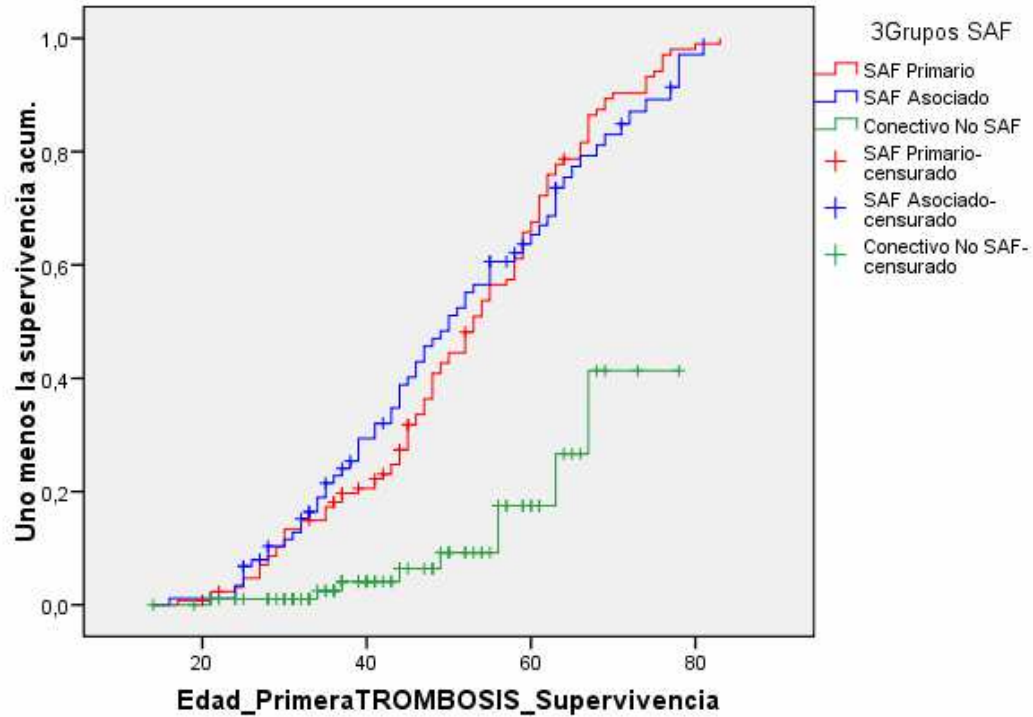
Descripción de la muestra



Trascendencia del SAF

Riesgo trombótico evolutivo

Edad de la Trombosis



Kaplan Meyer: log rank NS

Medias y medianas del tiempo de supervivencia

3Grupos SAF	Media ^a				Mediana			
	Estimación	Error típico	Intervalo de confianza al 95%		Estimación	Error típico	Intervalo de confianza al 95%	
			Límite inferior	Límite superior			Límite inferior	Límite superior
SAF Primario	52,090	1,369	49,406	54,774	53,000	1,951	49,175	56,825
SAF Asociado	51,327	1,916	47,572	55,083	50,000	2,808	44,497	55,503
Conectivo No SAF	69,697	2,457	64,882	74,513
Global	54,858	1,009	52,880	56,835	57,000	1,613	53,839	60,161

a. La estimación se limita al mayor tiempo de supervivencia si se ha censurado.

Resumen del procesamiento de los casos

3Grupos SAF	Nº total	Nº de eventos	Censurado	
			Nº	Porcentaje
SAF Primario	129	112	17	13,2%
SAF Asociado	88	67	21	23,9%
Conectivo No SAF	98	9	89	90,8%
Global	315	188	127	40,3%

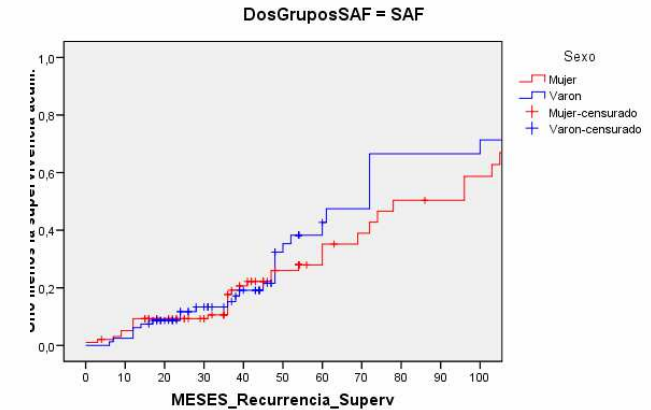
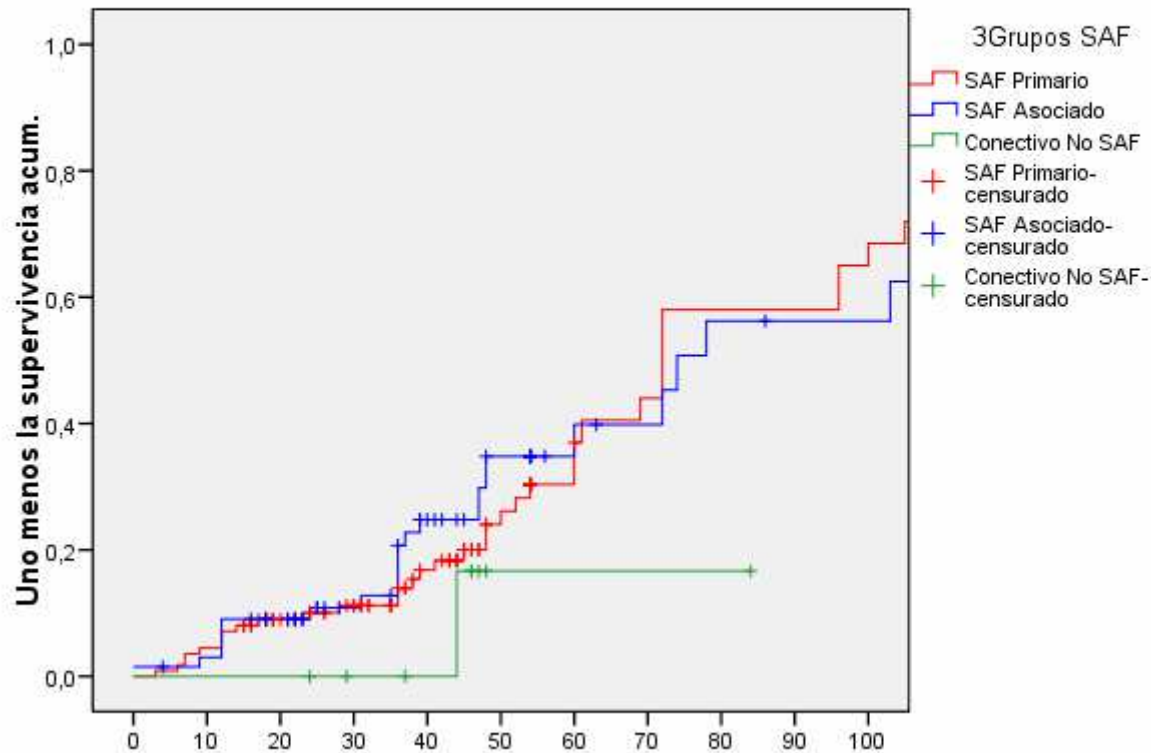
Comparaciones globales

	Chi-cuadrado	gl	Sig.
Log Rank (Mantel-Cox)	33,751	2	,000

Prueba de igualdad de distribuciones de supervivencia para diferentes niveles de 3Grupos SAF.

Recurrencia en trombosados

315 pacientes → 188 trombosis → 72 (38,3 %) recurrencias



Medias y medianas del tiempo de supervivencia

3Grupos SAF	Media ^a		Mediana					
	Estimación	Error típico	Intervalo de confianza al 95%		Estimación	Error típico	Intervalo de confianza al 95%	
			Límite inferior	Límite superior			Límite inferior	Límite superior
SAF Primario	93,420	12,660	68,606	118,235	72,000	1,793	68,487	75,513
SAF Asociado	125,156	26,093	74,013	176,298	74,000	10,496	53,427	94,573
Conectivo No SAF	77,333	6,086	65,405	89,262
Global	105,035	12,365	80,800	129,270	72,000	3,827	64,499	79,501

^a. La estimación se limita al mayor tiempo de supervivencia si se ha censurado.

Resumen del procesamiento de los casos

3Grupos SAF	Nº total	Nº de eventos	Censurado	
			Nº	Porcentaje
SAF Primario	112	43	69	61,6%
SAF Asociado	67	28	39	58,2%
Conectivo No SAF	9	1	8	88,9%
Global	188	72	116	61,7%

Comparaciones globales

	Chi-cuadrado	gl	Sig.
Log Rank (Mantel-Cox)	1,327	2	,515

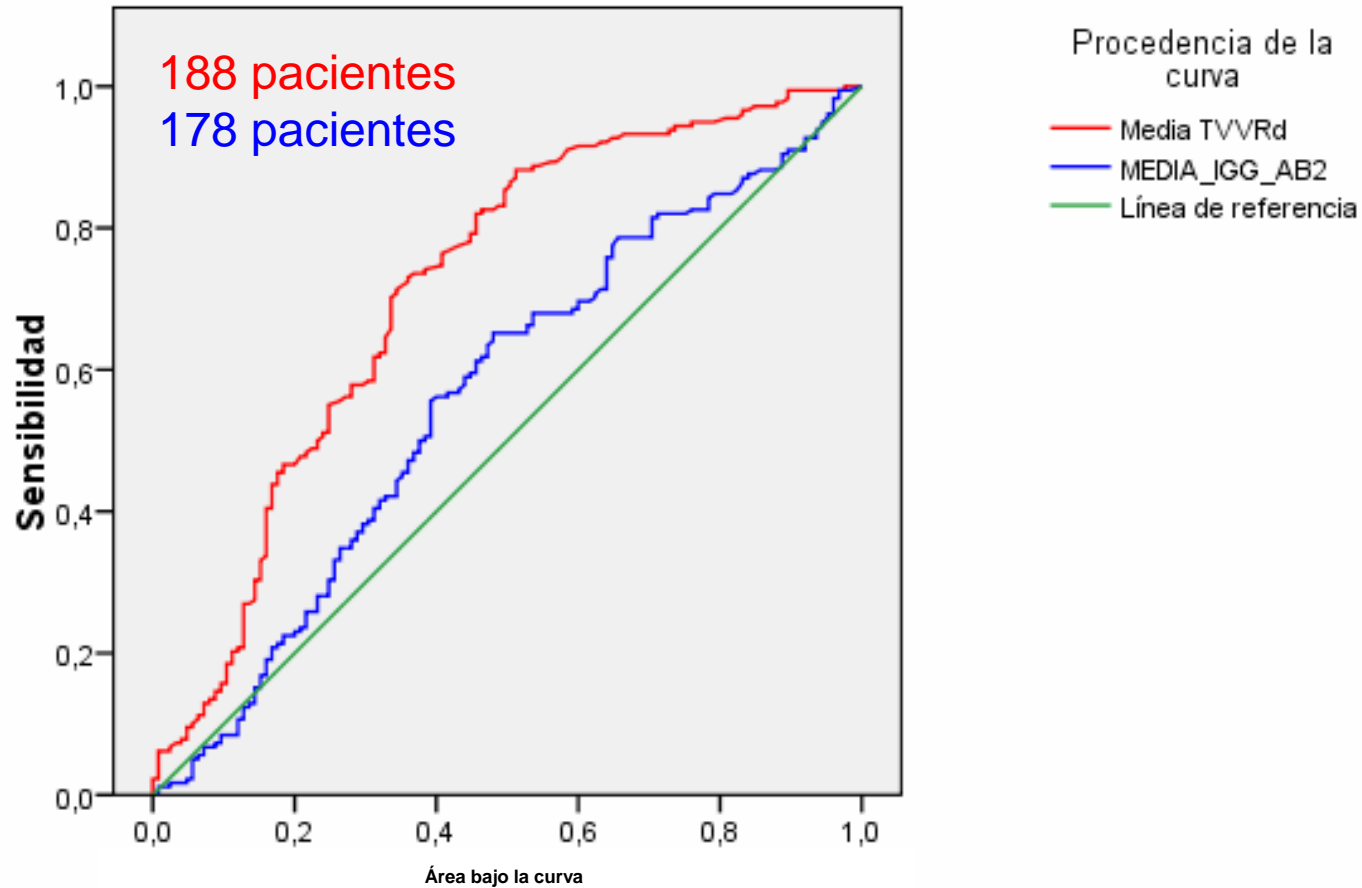
Prueba de igualdad de distribuciones de supervivencia para diferentes niveles de 3Grupos SAF.

Asociaciones clínico-analíticas

Estudio bivalente

Curvas COR

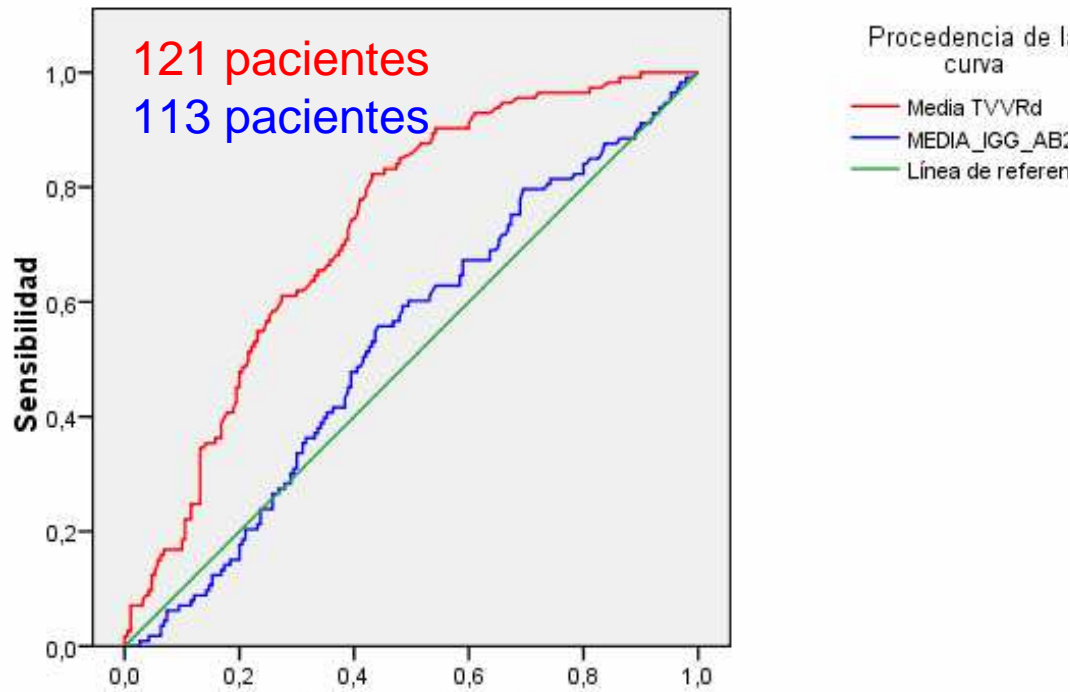
AAF y Trombosis



Variables resultado de contraste	Área	Error típ. ^a	Sig. asintótica ^b	Intervalo de confianza asintótico al 95%	
				Límite inferior	Límite superior
Media TVVRd	,716	,031	,000	,655	,776
MEDIA_IGG_AB2	,563	,034	,063	,496	,629

Trombosis Venosa

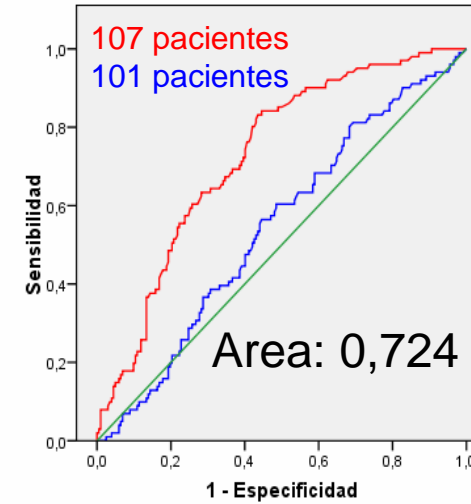
Trombosis Venosa Total



Área bajo la curva

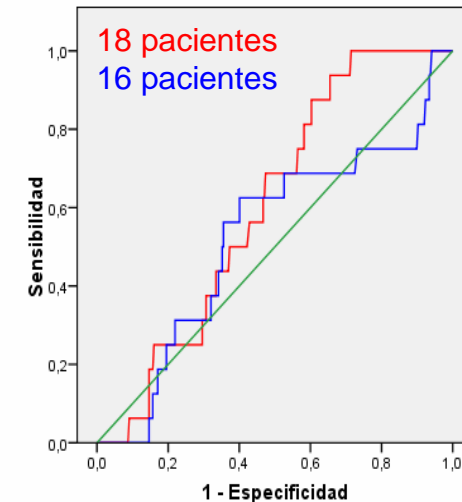
Variables resultado de contraste	Área	Error típ. ^a	Sig. asintótica ^b	Intervalo de confianza asintótico al 95%	
				Límite inferior	Límite superior
Media TVVRd	,727	,029	,000	,670	,783
MEDIA_IGG_AB2	,529	,034	,400	,463	,595

TVP/TEP^R



Los segmentos diagonales son producidos por los empate

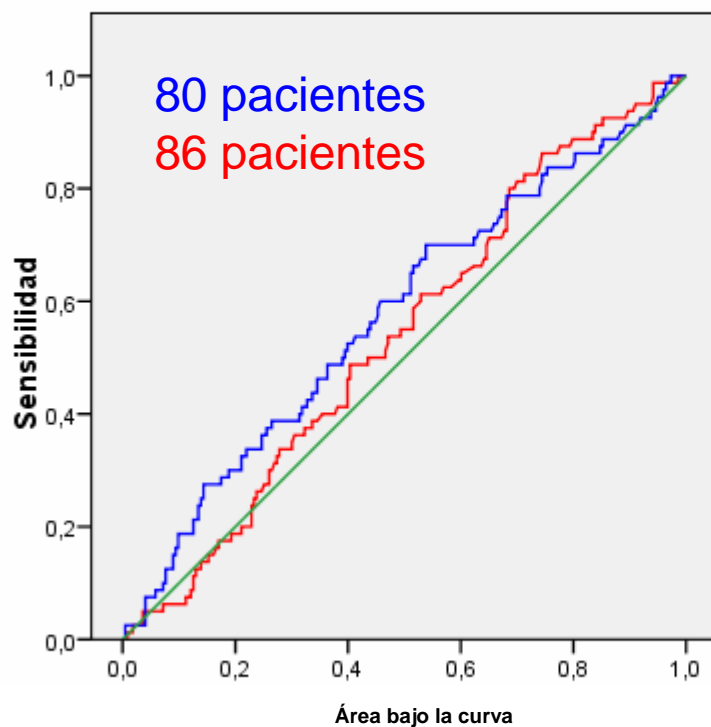
Otras Tr Venosas



Los segmentos diagonales son producidos por los empate

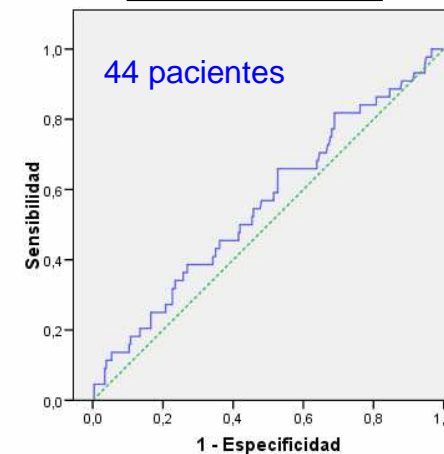
Trombosis Arterial

Trombosis Arterial Total

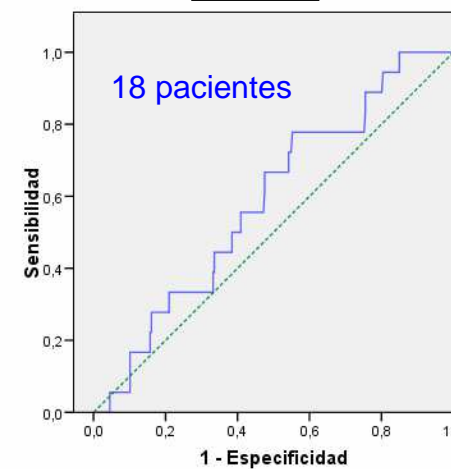


Variables resultado de contraste	Área	Error típ. ^a	Sig. asintótica ^b	Intervalo de confianza asintótico al 95%	
				Límite inferior	Límite superior
Media TVVRd	,540	,036	,285	,470	,611
MEDIA_IGG_AB2	,578	,038	,038	,504	,652

ACV / TIA



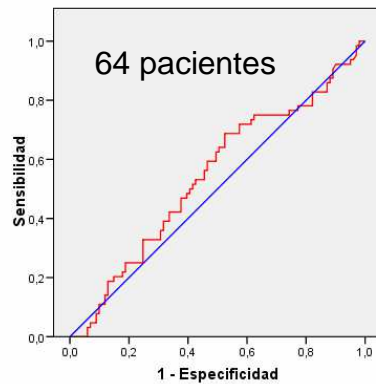
IAM



Antecedentes obstétricos

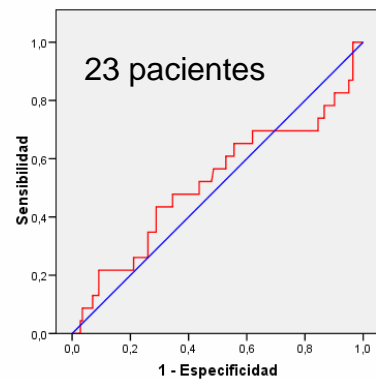
Abortos 1ºT

ACL-IgM. Area: 0,543 (NS)



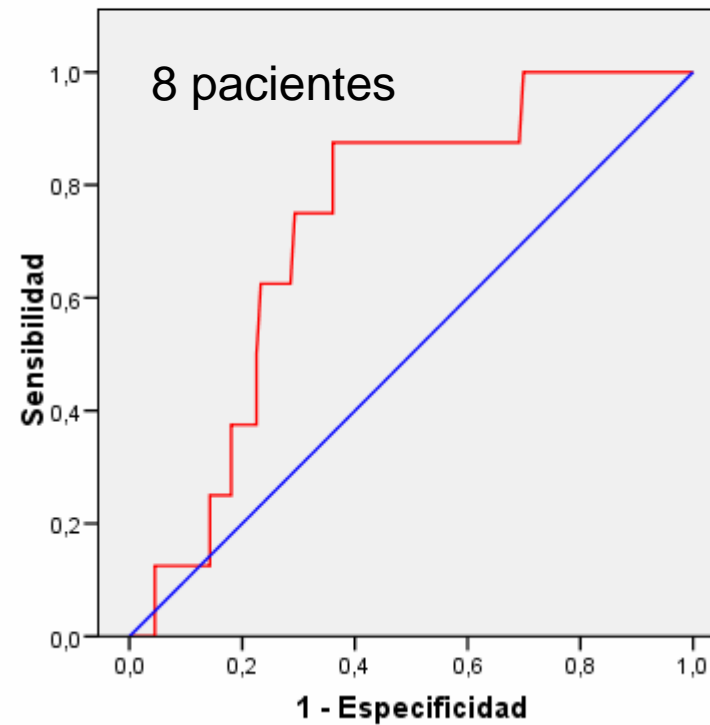
Pérdidas Fetales

ACL-IgM. Area: 0,528 (NS)



Preeclampsia-Eclampsia

AL-SCT. Area: 0,729 (p = 0,03)



Estudio Multivariante

Trombosis Venosa

Regresión Logística Binaria

Variables en la ecuación

		B	E.T.	Wald	gl	Sig.	Exp(B)	I.C. 95,0% para EXP(B)	
								Inferior	Superior
Paso 6 ^a	SecondHit(1)	1,448	,453	10,223	1	,001	4,256	1,751	10,340
	LupusEritematoso(1)	-1,202	,337	12,691	1	,000	,301	,155	,582
	MEDIA_LAC	4,018	,819	24,046	1	,000	55,588	11,156	276,972
	MEDIA_SCT	-1,295	,375	11,905	1	,001	,274	,131	,572
	Sexo(1)	2,008	,604	11,052	1	,001	7,450	2,280	24,344
	Constante	-4,232	,930	20,721	1	,000	,015		

a. Variable(s) introducida(s) en el paso 5: SecondHit.

Resumen del procesamiento de los casos

Casos no ponderados ^a		N	Porcentaje
Casos seleccionados	Incluidos en el análisis	253	80,3
	Casos perdidos	62	19,7
	Total	315	100,0
Casos no seleccionados		0	,0
	Total	315	100,0

Variables que no están en la ecuación

			Puntuación	gl	Sig.
Paso 6	Variables	Sindromeseco(1)	,052	1	,819
		MEDIA_IGGACL	,079	1	,778
		MEDIA_IGMACL	1,278	1	,258
		MEDIA_IGG_AB2	,691	1	,406
		MEDIA_IGM_AB2	1,261	1	,261
Estadísticos globales			2,657	5	,753

		Chi-cuadrado	gl	Sig.
Paso 6	Paso	11,667	1	,001
	Bloque	122,932	5	,000
	Modelo	122,932	5	,000

Resumen de los modelos

Paso	-2 log de la verosimilitud	R cuadrado de Cox y Snell	R cuadrado de Nagelkerke
6	223,992 ^a	,385	,516

Prueba de Hosmer y Lemeshow

Paso	Chi-cuadrado	gl	Sig.
6	16,598	8	,035

Recurrencia de Trombosis

Regresión de Cox

315 pacientes → 188 trombosis → 72 (38,3 %) recurrencias

Variables en la ecuación

	B	ET	Wald	gl	Sig.	Exp(B)	95,0% IC para Exp(B)		
							Inferior	Superior	
Paso 5	Sexo	,350	,193	3,292	1	,070	1,419	,972	2,071
	LupusEritematoso	-,563	,188	8,933	1	,003	,569	,394	,824
	Obesidad	,531	,247	4,629	1	,031	1,701	1,048	2,759
	MEDIA_LAC	,888	,278	10,181	1	,001	2,431	1,409	4,194
	MEDIA_IGM_AB2	-,013	,006	5,594	1	,018	,987	,976	,998

Variables que no están en la ecuación

	Puntuación	gl	Sig.	
Paso 5	Sindromeseco	,420	1	,517
	HTA	2,620	1	,106
	DM	,139	1	,709
	Hipercolesterolemia	,040	1	,841
	Hipertrigliceridemia	,584	1	,445
	MEDIA_SCT	,011	1	,916
	MEDIA_IGGACL	,012	1	,912
	MEDIA_IGMACL	,226	1	,634
	MEDIA_IGG_AB2	,086	1	,769

a. Chi-cuadrado residual = 4,279 con 9 gl Sig. = ,892

Pruebas omnibus sobre los coeficientes del modelo^b

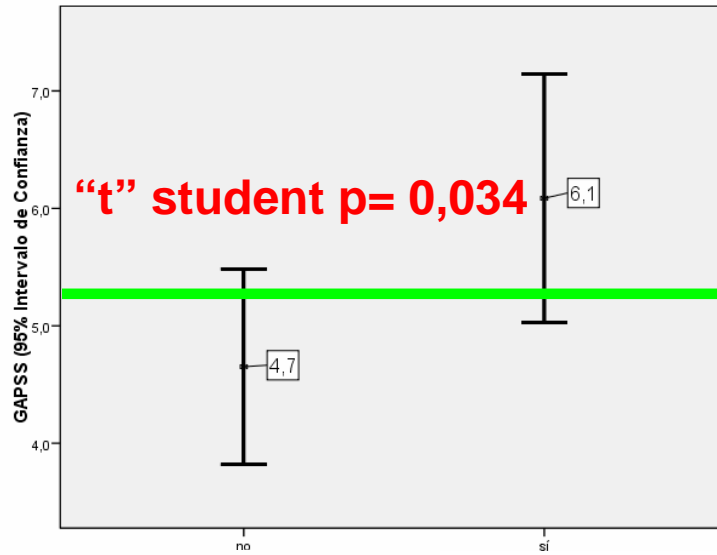
Paso	-2 log de la verosimilitud	Global (puntuación)			Cambio desde el bloque anterior		
		Chi-cuadrado	gl	Sig.	Chi-cuadrado	gl	Sig.
5	1225,340	44,500	5	,000	44,869	5	,000

a. Bloque inicial número 0, función log de la verosimilitud inicial: -2 log de la verosimilitud: 1270,209

b. Bloque inicial número 1. Método = Por pasos hacia adelante (Wald)

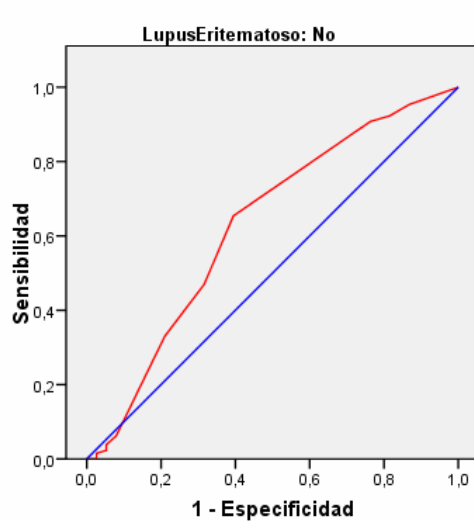
Grupos de Riesgo

GAPSS*: Trombosis en LES



En 147 pacientes con LES

Hiperlipidemia (3) + HTA (1)
+ aCL(5)+aB2-GP (4)+AL(4)



Área bajo la curva^f

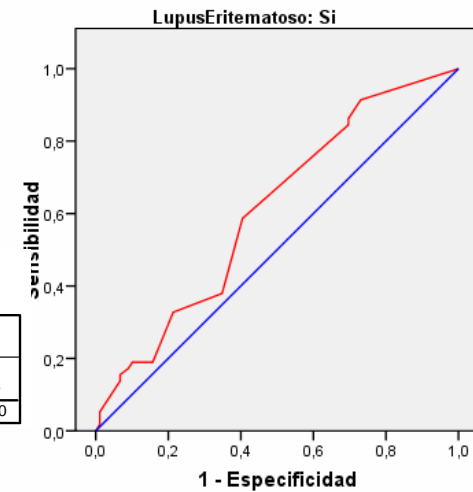
Variables resultado de contraste: GAPSS

Área	Error típ. ^a	Sig. asintótica ^b	Intervalo de confianza asintótico al 95%	
			Límite inferior	Límite superior
,628	,055	,017	,520	,736

Área bajo la curva^f

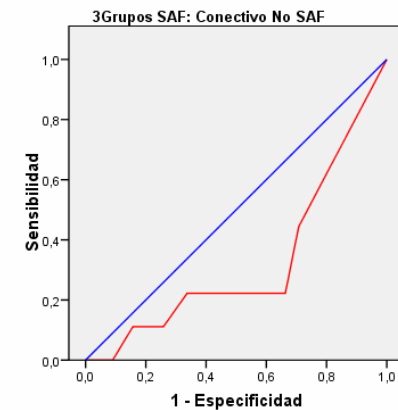
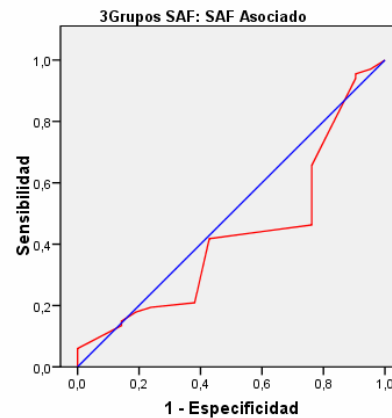
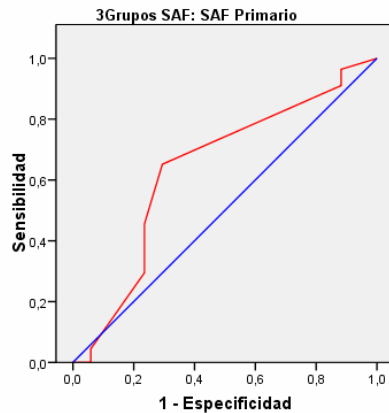
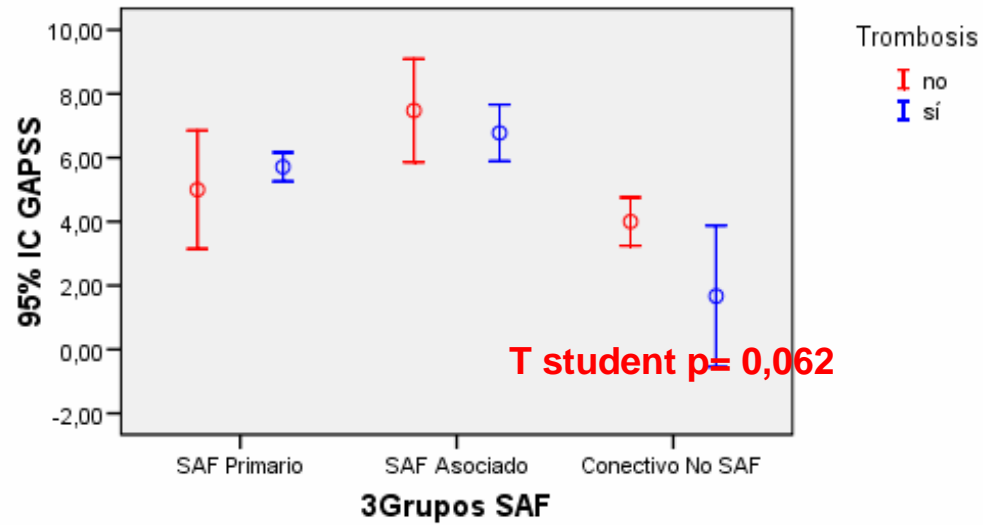
Variables resultado de contraste: GAPSS

Área	Error típ. ^a	Sig. asintótica ^b	Intervalo de confianza asintótico al 95%	
			Límite inferior	Límite superior
,608	,047	,027	,517	,700



(*) Modificación eliminando los Ac APT/ASF

GAPSS*: Trombosis en LES

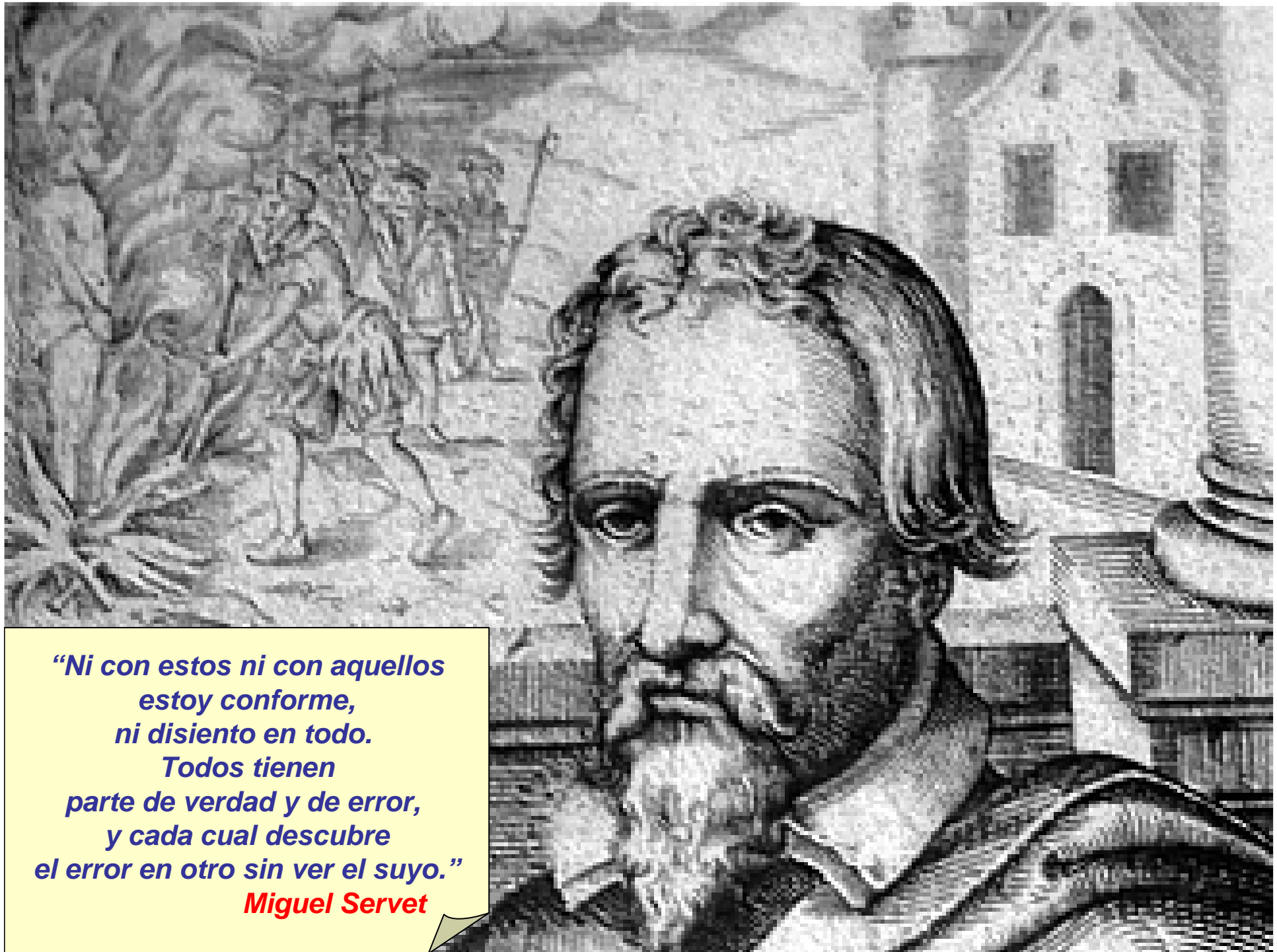


Conclusiones

- Muestra con predominio de SAF trombótico
- Riesgo elevado de trombosis y retrombosis
- Asociación relevante de AL (+) con TVP/TEP
- Mayor poder discriminante del dRVVT vs SCT
- Baja asociación de AaCL y AB2-GP
- Utilidad del GAPSS en pacientes con LES



*“Lo bueno, si breve,
dos veces bueno
Baltasar Gracián*



*“Ni con estos ni con aquellos
estoy conforme,
ni disiento en todo.
Todos tienen
parte de verdad y de error,
y cada cual descubre
el error en otro sin ver el suyo.”*

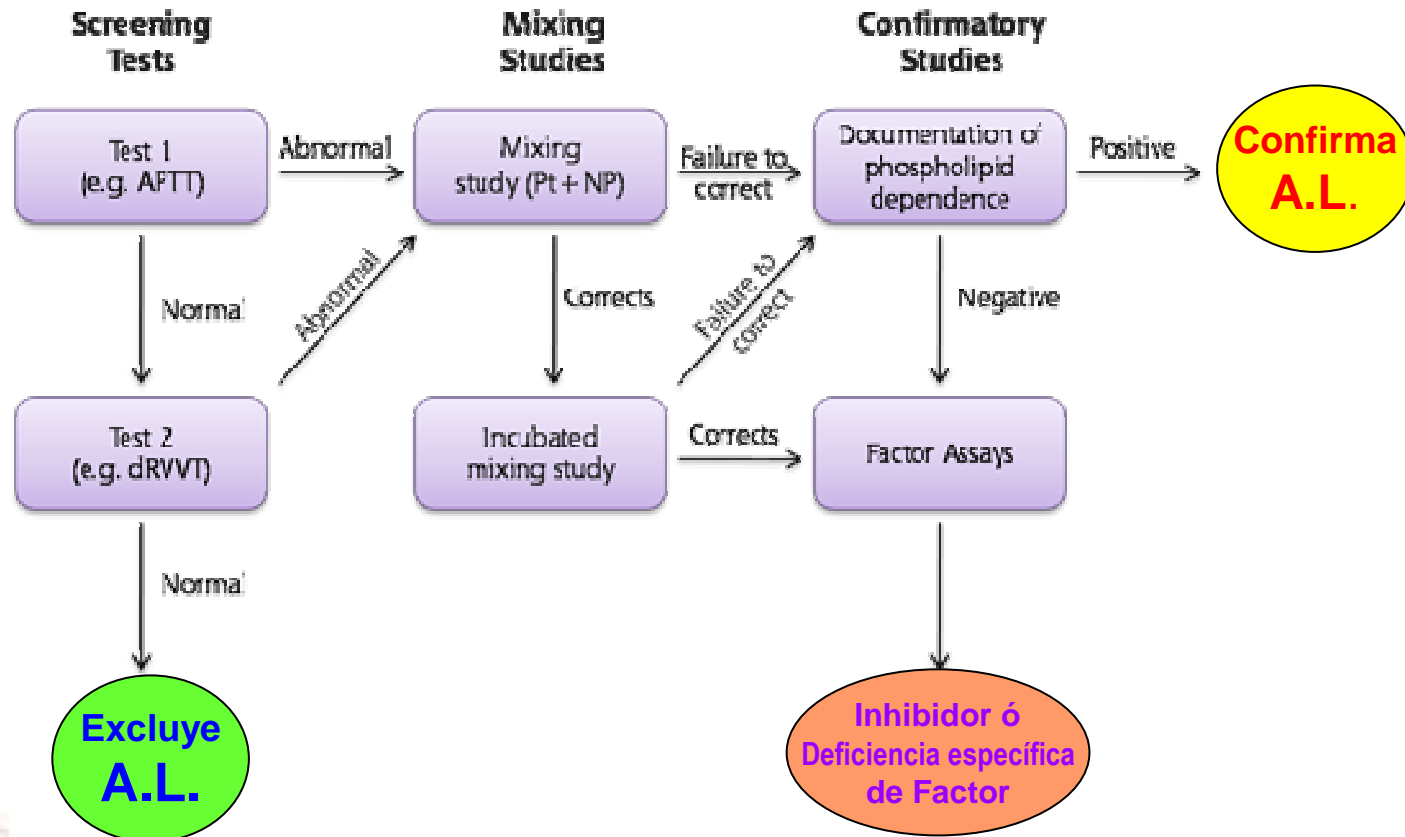
Miguel Servet

Anticoagulante Lúpico

Test coagulación fosfolípido-dependiente prolongado

Test de Mezclas → Inhibidor

Confirmación del carácter fosfolípido-dependiente del inhibidor



Anticoagulante Lúpico

Test coagulación
fosfolípido-dependiente
prolongado



Test de
Mezclas → Inhibidor



Confirmación del carácter
fosfolípido-dependiente del
inhibidor

Determinación AL presente trabajo (HUMS):

- ✓ **dRVVT** (Test del Veneno de Víbora de Rusell diluido) coc. PP/PN
- ✓ **SCT** (Silica Clotting Time) expresado como cociente PP/PN

- **2 test** distintos con **diferente principio**
- **dRVVT** primer screening
- **TTPa** con [**↓ PL**] y **Sílica** como activador
- T de Mezclas → HNF, gestación, ...
- Confirmatorio [**↑ PL**]

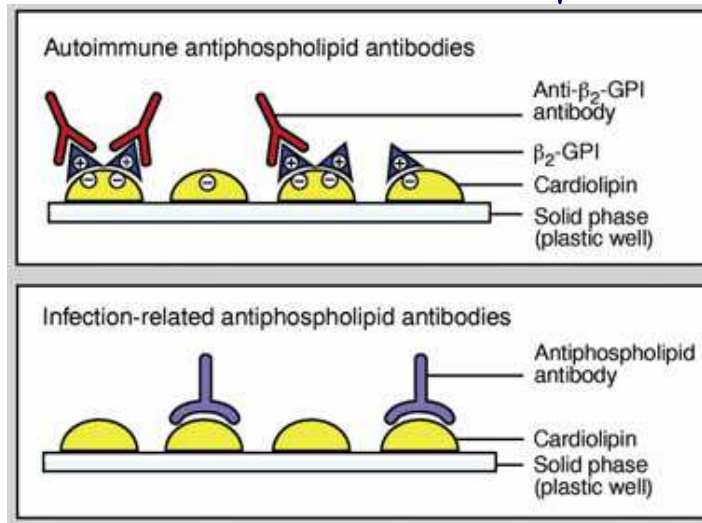


Ac AntiCardioLipina y Anti-B2-GPI

ELISA

Ensayo fase sólida

- Suero problema
- Placa CL + Suero bovino



- Difícil estandarización
- Duplicado
- Anti-B2-GPI > especificidad
- 3-10% único test +



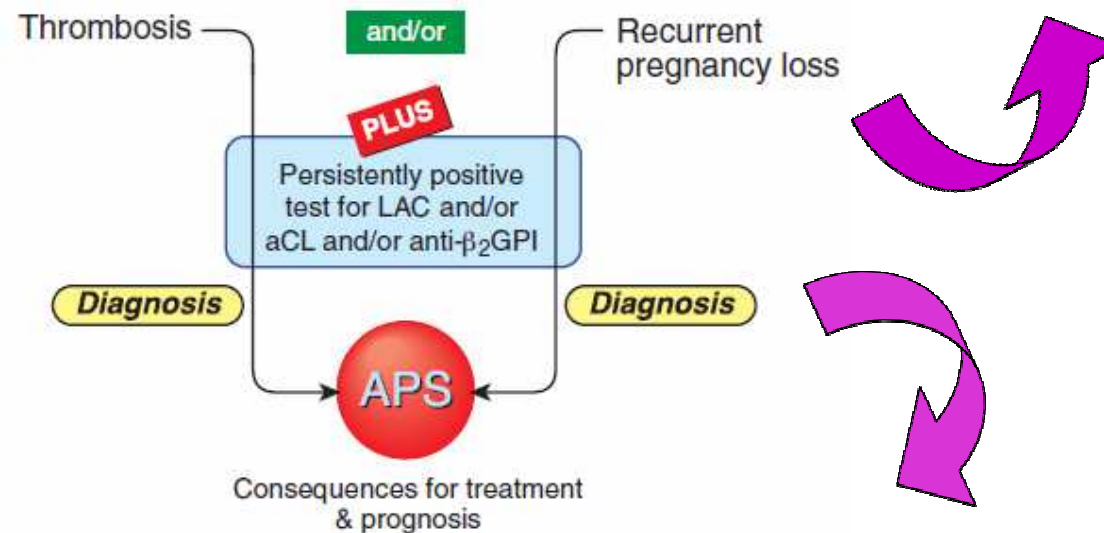
Retiradas por tiempo

Diagnóstico del SAF

How we diagnose the antiphospholipid syndrome

Bill Giannakopoulos,¹ Freda Passam,¹ Yiannis Ioannou,¹ and Steven A. Krills¹

BLOOD, 29 JANUARY 2009 • VOLUME 113, NUMBER 5



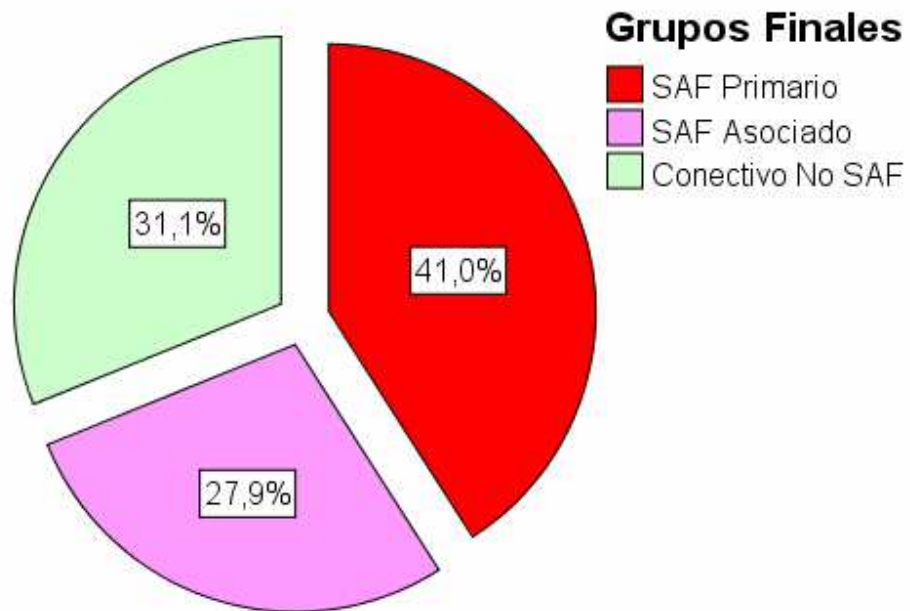
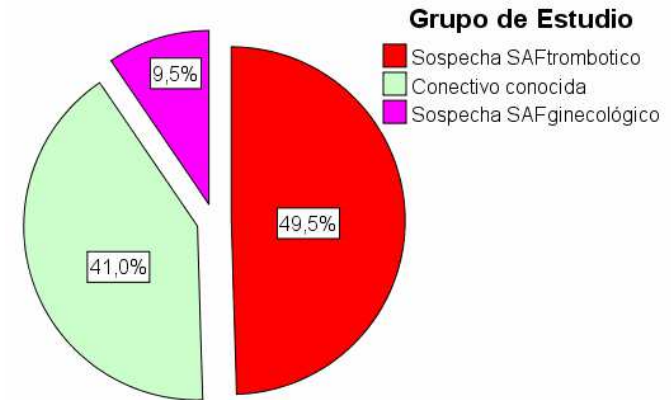
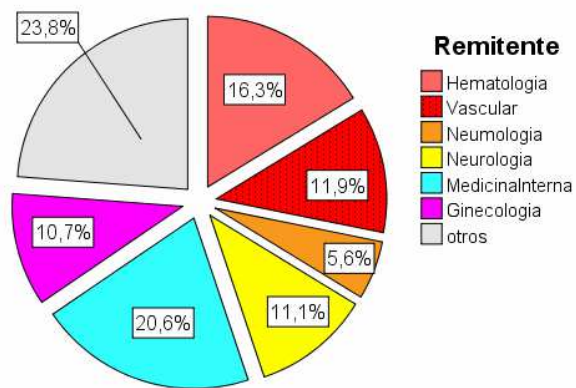
Journal of Thrombosis and Haemostasis, 4: 295–306

SPECIAL ARTICLE

International consensus statement on an update of the classification criteria for definite antiphospholipid syndrome (APS)

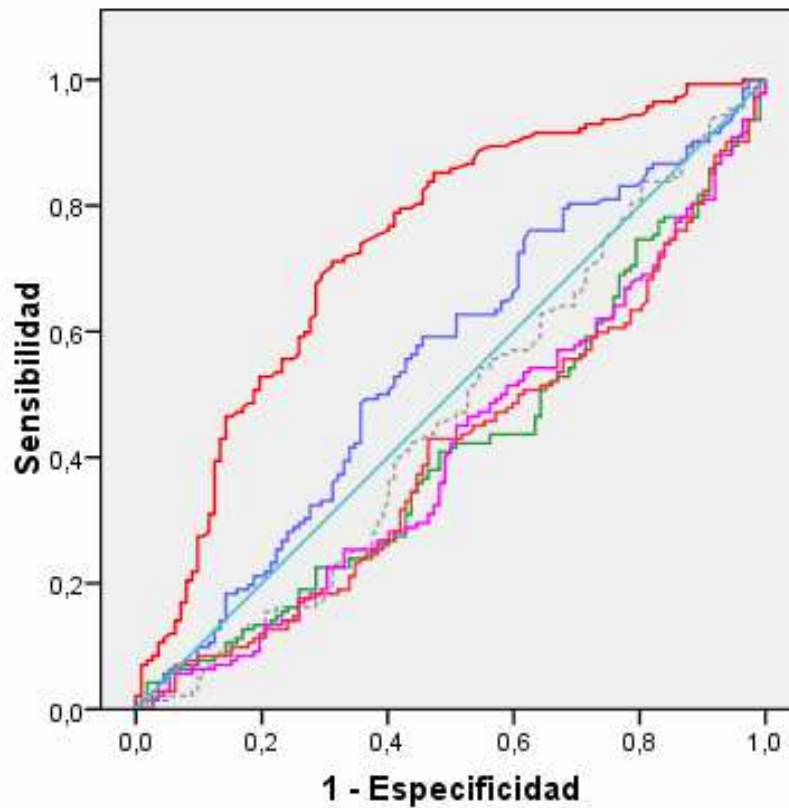
S. MIYAKIS,* M. D. LOCKSHIN,† T. ATSUMI,‡ D. W. BRANCH,§ R. L. BREY,¶ R. CERVERA,**
R. H. W. M. DERKSEN,†† P. G. DE GROOT,†† T. KOIKE,‡ P. L. MERONI,‡‡ G. REBER,§§
Y. SHOENFELD,¶¶ A. TINCANI,*** P. G. VLACHOYIANNOPOULOS††† and S. A. KRILIS*

Grupos de pacientes



AAF y Trombosis

Curva COR



Procedencia de la curva

- Media TVVRd
- - - MEDIA_SCT
- MEDIA_IGGACL
- MEDIA_IGMACL
- MEDIA_IGG_AB2
- MEDIA_IGM_AB2
- Línea de referencia

Área bajo la curva

Variables resultado de contraste	Área	Error tip. ^a	Sig. asintótica ^b	Intervalo de confianza asintótico al 95%	
				Límite inferior	Límite superior
Media TVVRd	,736	,032	,000	,674	,799
MEDIA_SCT	,464	,037	,327	,392	,537
MEDIA_IGGACL	,413	,036	,017	,342	,483
MEDIA_IGMACL	,411	,036	,015	,341	,481
MEDIA_IGG_AB2	,550	,037	,169	,478	,622
MEDIA_IGM_AB2	,408	,036	,011	,338	,478

La variable (o variables) de resultado de contraste: Media TVVRd, MEDIA_SCT, MEDIA_IGGACL, MEDIA_IGMACL, MEDIA_IGG_AB2, MEDIA_IGM_AB2 tiene al menos un empate e el grupo de estado real positivo y el grupo de estado real negativo. Los estadísticos pueden estar sesgados .

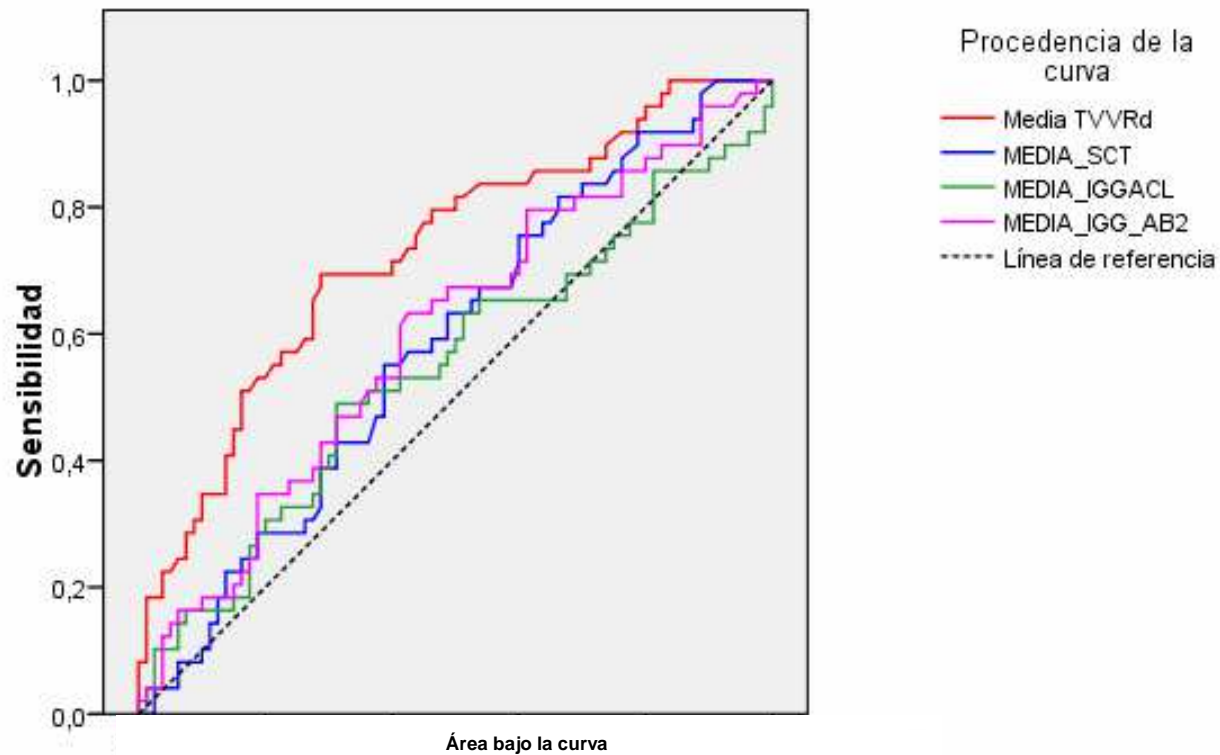
a. Bajo el supuesto no paramétrico

b. Hipótesis nula: área verdadera = 0,5

Los segmentos diagonales son producidos por los empates.

En 147 pacientes con LES

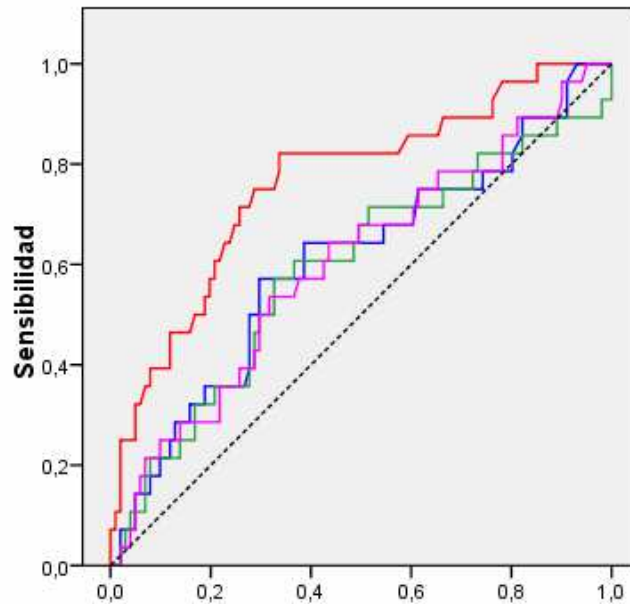
Trombosis Venosa y/o Arterial (58 pacientes)



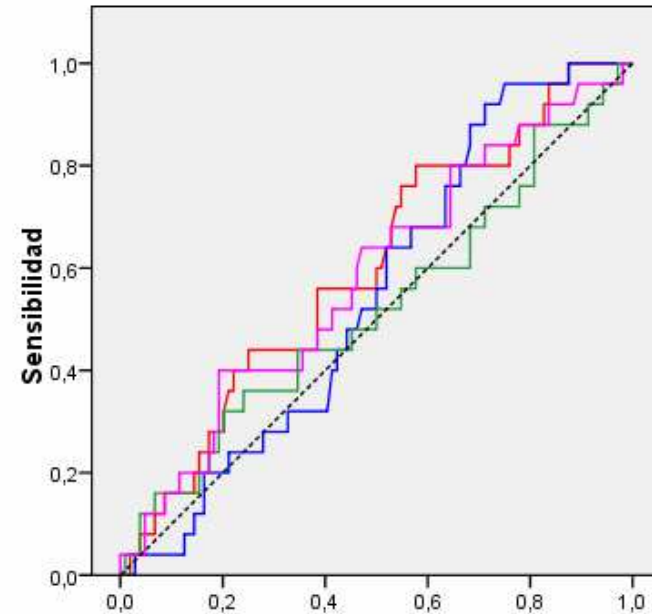
Variables resultado de contraste	Área	Error típ. ^a	Sig. asintótica ^b	Intervalo de confianza asintótico al 95%	
				Límite inferior	Límite superior
Media TVVRd	,728	,046	,000	,638	,817
MEDIA_SCT	,582	,051	,117	,483	,682
MEDIA_IGGACL	,545	,054	,393	,439	,651
MEDIA_IGG_AB2	,599	,051	,061	,498	,700

En 147 pacientes con LES

Trombosis Venosa (N = 32)



Trombosis Arterial (N = 30)



Procedencia de la curva
 — Media TVVRd
 — MEDIA_SCT
 — MEDIA_IGGACL
 — MEDIA_IGG_AB2
 - - - Línea de referencia

Área bajo la curva

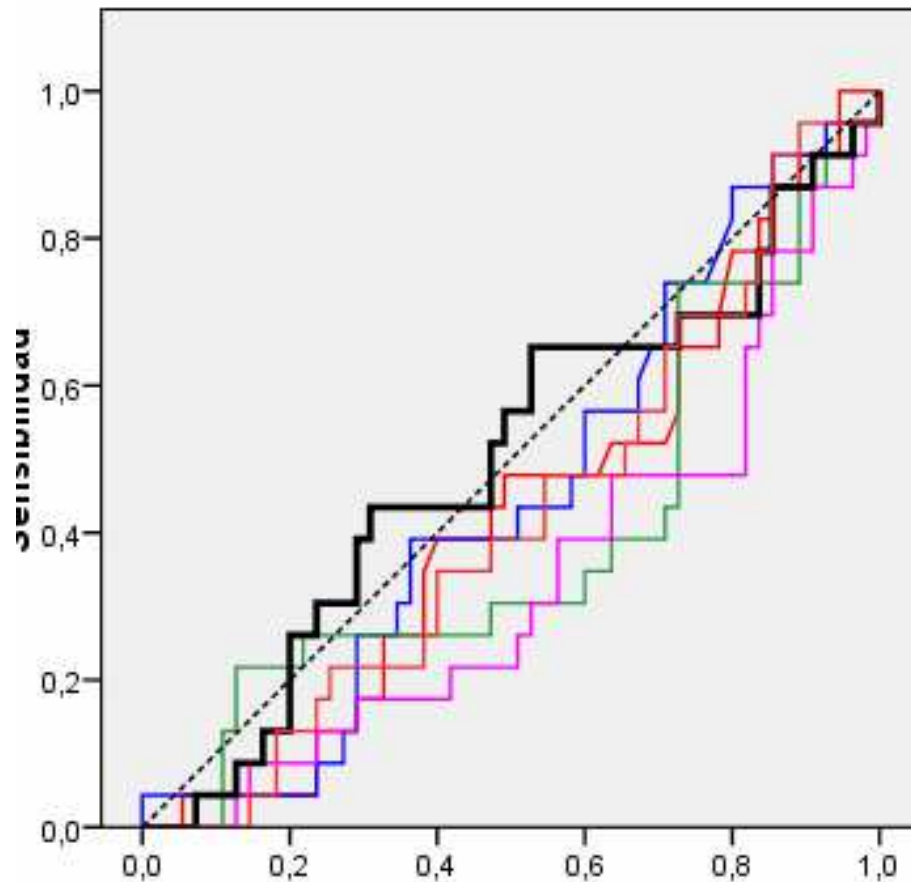
Variables resultado de contraste	Área	Error típ. ^a	Sig. asintótica ^b	Intervalo de confianza asintótico al 95%	
				Límite inferior	Límite superior
Media TVVRd	,763	,053	,000	,660	,867
MEDIA_SCT	,605	,063	,090	,481	,729
MEDIA_IGGACL	,591	,065	,144	,463	,718
MEDIA_IGG_AB2	,602	,062	,098	,480	,724

Área bajo la curva

Variables resultado de contraste	Área	Error típ. ^a	Sig. asintótica ^b	Intervalo de confianza asintótico al 95%	
				Límite inferior	Límite superior
Media TVVRd	,600	,061	,121	,481	,720
MEDIA_SCT	,547	,056	,465	,437	,657
MEDIA_IGGACL	,520	,068	,752	,387	,654
MEDIA_IGG_AB2	,583	,064	,197	,459	,708

81 LES con embarazos

25 pacientes (30,9 %) con criterio obstétrico de SAF



Procedencia de la curva

- Media TVVRd
- MEDIA_SCT
- MEDIA_IGGACL
- MEDIA_IGG_AB2
- MEDIA_IGMACL
- MEDIA_IGM_AB2
- Línea de referencia

Área bajo la curva

Variables resultado de contraste	Área	Error típ. ^a	Sig. asintótica ^b	Intervalo de confianza asintótico al 95%	
				Límite inferior	Límite superior
Media TVVRd	,425	,069	,298	,290	,560
MEDIA_SCT	,449	,069	,483	,314	,585
MEDIA_IGGACL	,397	,074	,153	,252	,541
MEDIA_IGG_AB2	,338	,067	,024	,206	,469
MEDIA_IGMACL	,497	,074	,969	,353	,642
MEDIA_IGM_AB2	,421	,069	,271	,286	,555

La variable (o variables) de resultado de contraste: Media TVVRd, MEDIA_SCT tiene al menos un empate entre el grupo de estado real positivo y el grupo de estado real negativo. Los estadísticos pueden estar sesgados .

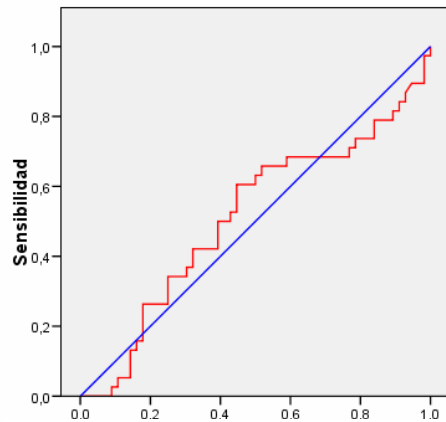
81 LES con embarazos

Abortos 1º Trim.
IgM- aCL (NS)

Pérdidas Fetales
tardías (NS)

Preeclampsia
Eclampsia (NS)

Curva COR

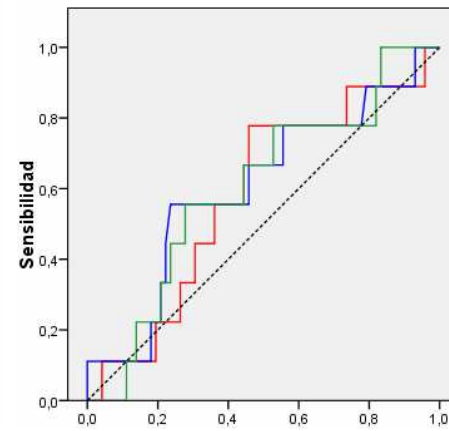


Área bajo la curva

Variables resultado de contraste: MEDIA_IGMACL

Área	Error tip. ^a	Sig. asintótica ^b	Intervalo de confianza asintótico al 95%	
			Limite inferior	Limite superior
,511	,063	,862	,388	,633

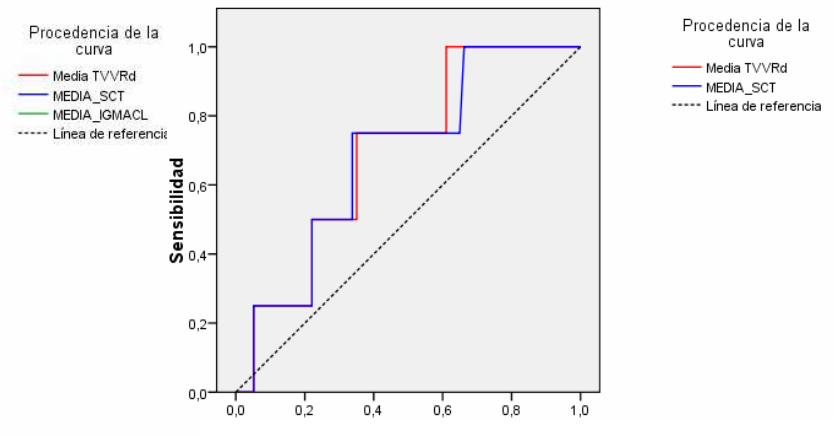
Curva COR



Área bajo la curva

Variables resultado de contraste	Área	Error tip. ^a	Sig. asintótica ^b	Intervalo de confianza asintótico al 95%	
				Limite inferior	Limite superior
Media TVVRd	,582	,086	,426	,393	,770
MEDIA_SCT	,603	,103	,314	,401	,806
MEDIA_IGMACL	,600	,095	,329	,414	,786

Curva COR



Área bajo la curva

Variables resultado de contraste	Área	Error tip. ^a	Sig. asintótica ^b	Intervalo de confianza asintótico al 95%	
				Limite inferior	Limite superior
Media TVVRd	,692	,109	,198	,477	,906
MEDIA_SCT	,683	,117	,218	,454	,912

Trombosis Venosa

Regresión Logística Binaria

Variables en la ecuación

		B	E.T.	Wald	gl	Sig.	Exp(B)	I.C. 95,0% para EXP(B)	
								Inferior	Superior
Paso 5 ^a	MEDIA_LAC	4,518	,726	38,672	1	,000	91,633	22,063	380,569
	MEDIA_SCT	-1,009	,354	8,114	1	,004	,365	,182	,730
	MEDIA_IGG_AB2	-,026	,011	5,538	1	,019	,974	,954	,996
	LupusEritematoso(1)	-1,006	,330	9,290	1	,002	,366	,191	,698
	Constante	-5,013	,880	32,456	1	,000	,007		

a. Variable(s) introducida(s) en el paso 4: MEDIA_IGG_AB2.

Codificaciones de variables categóricas

		Frecuencia	Codificación de parámetros (1)
Sindromeseco	No	200	,000
	Si	53	1,000
LupusEritematoso	No	127	,000
	Si	126	1,000
Sexo	Varon	61	,000
	Mujer	192	1,000

Pruebas omnibus sobre los coeficientes del modelo

		Chi-cuadrado	gl	Sig.
Paso 5	Paso	5,644	1	,018
	Bloque	73,836	4	,000
	Modelo	73,836	4	,000

Resumen de los modelos

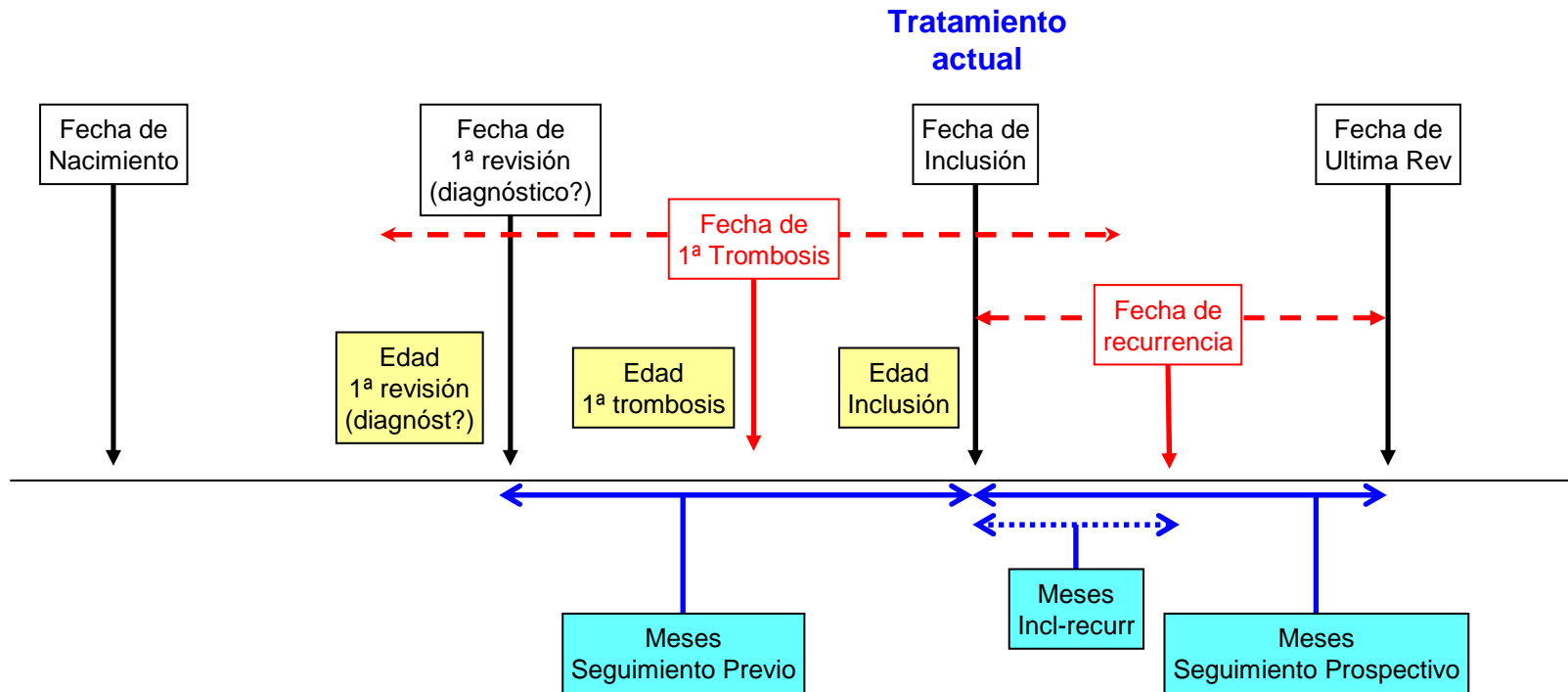
Paso	-2 log de la verosimilitud	R cuadrado de Cox y Snell	R cuadrado de Nagelkerke
5	250,501 ^a	,253	,350

a. La estimación ha finalizado en el número de iteración 5 porque las estimaciones de los parámetros han cambiado en menos de ,001.

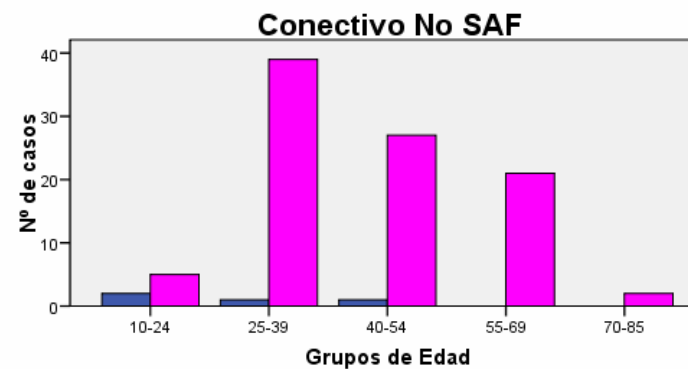
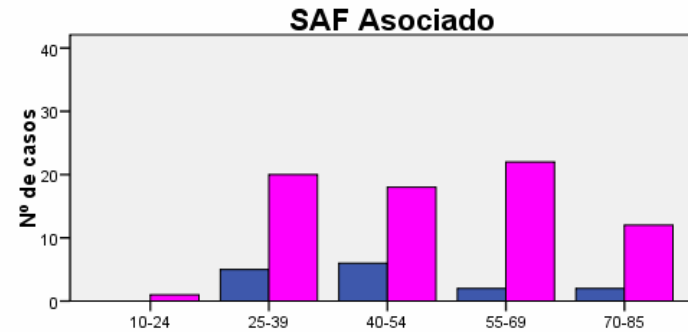
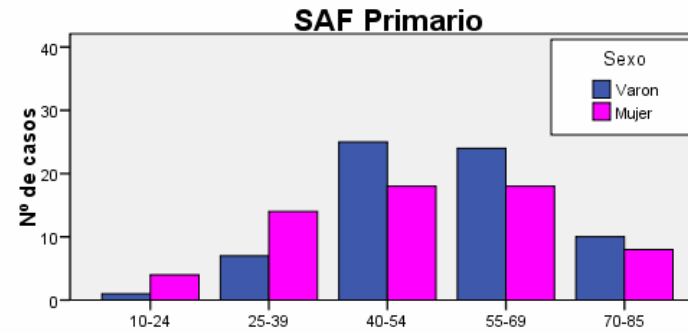
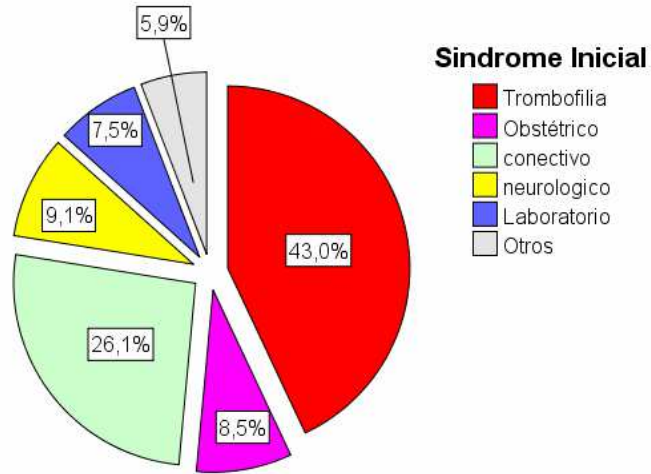
Prueba de Hosmer y Lemeshow

Paso	Chi-cuadrado	gl	Sig.
5	15,986	8	,043

Parámetros evolutivos



Grupos de pacientes



Síndrome Antifosfolípido

Trombosis
Arterial y/o Venosa

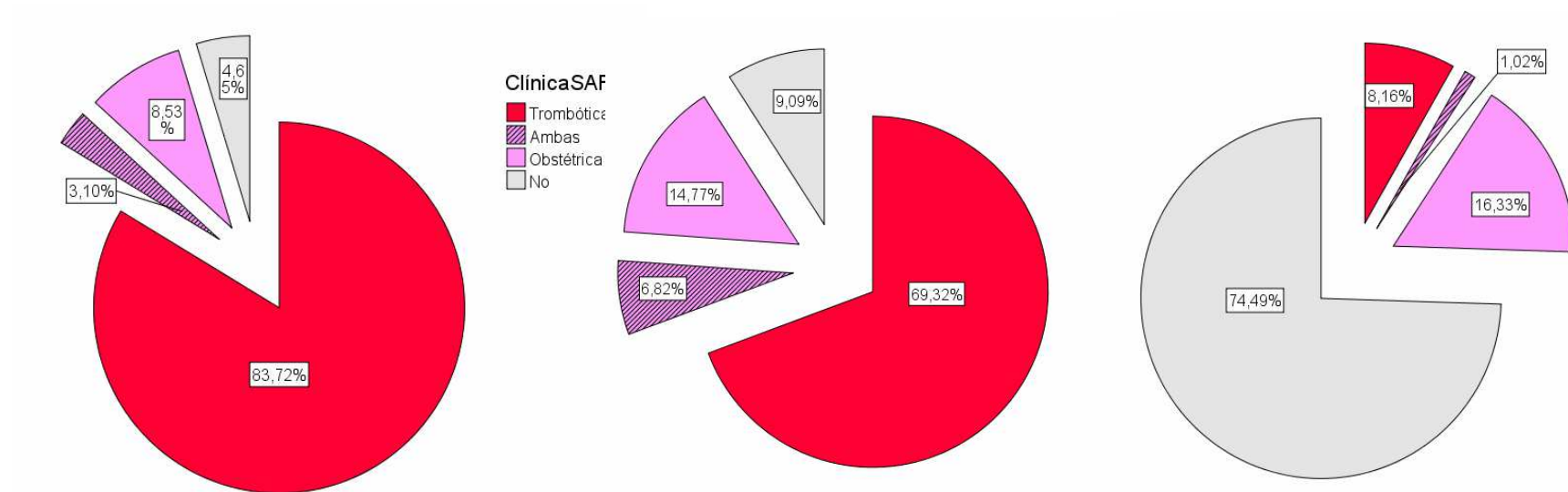
Complicaciones
Obstétricas

Anticoagulante
Lúpico

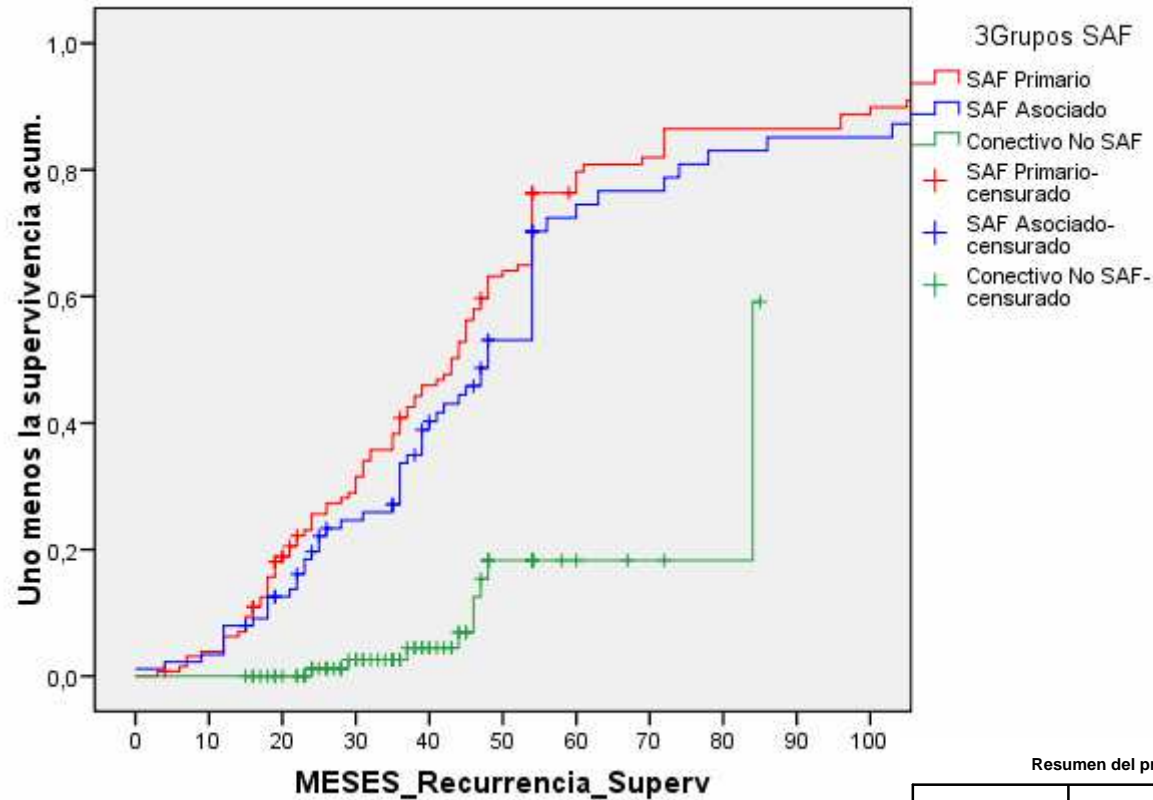
Anti Cardiolipina
(IgG ó IgM)

Anti B2-GP I
(IgG ó IgM)

Grupos de pacientes



Meses hasta recurrencia trombótica



Medias y medianas del tiempo de supervivencia

	Media ^a				Mediana			
	Estimación	Error típico	Intervalo de confianza al 95%		Estimación	Error típico	Intervalo de confianza al 95%	
			Límite inferior	Límite superior			Límite inferior	Límite superior
3Grupos SAF								
SAF Primario	53,346	5,136	43,279	63,414	43,000	2,664	37,778	48,222
SAF Asociado	66,182	9,504	47,554	84,810	48,000	2,219	43,651	52,349
Conectivo No SAF	76,820	2,523	71,874	81,766	84,000	25,600	33,825	134,175
Global	69,554	5,927	57,937	81,172	52,000	1,274	49,503	54,497

^a. La estimación se limita al mayor tiempo de supervivencia si se ha censurado.

Resumen del procesamiento de los casos

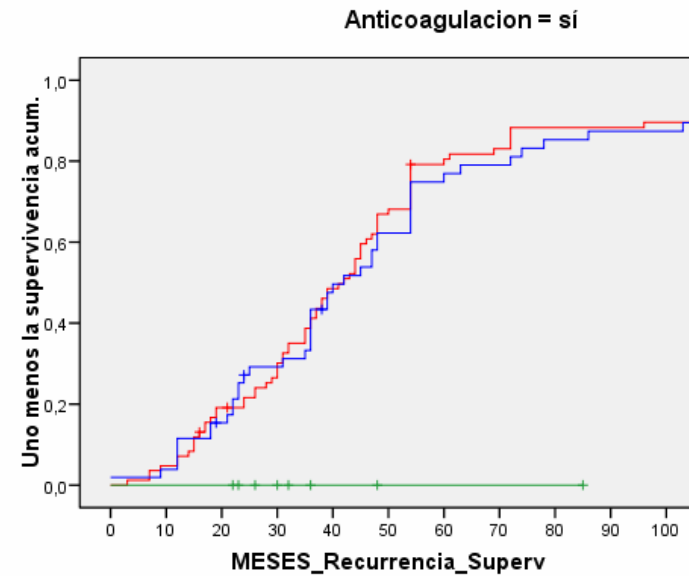
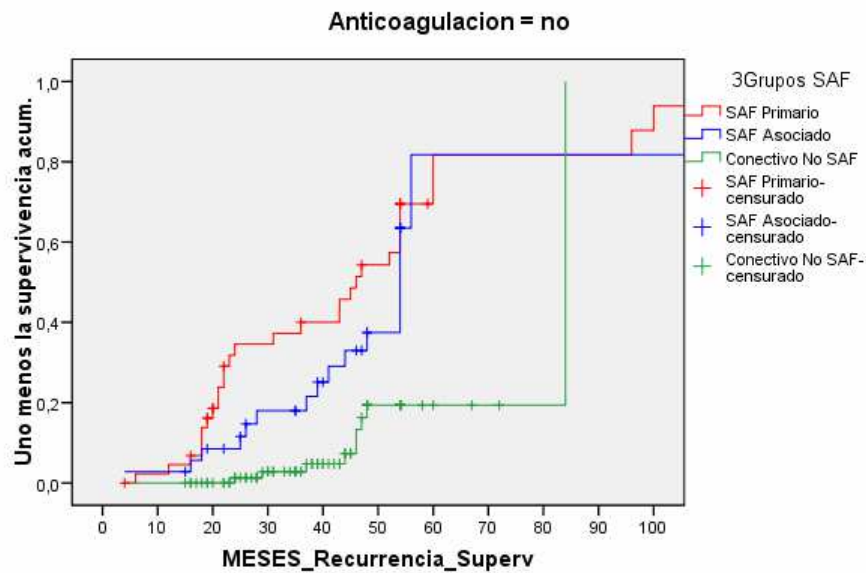
3Grupos SAF	Nº total	Nº de eventos	Censurado	
			Nº	Porcentaje
SAF Primario	129	112	17	13,2%
SAF Asociado	88	67	21	23,9%
Conectivo No SAF	98	10	88	89,8%
Global	315	189	126	40,0%

Comparaciones globales

	Chi-cuadrado	gl	Sig.
Log Rank (Mantel-Cox)	46,757	2	,000

Prueba de igualdad de distribuciones de supervivencia para diferentes niveles de 3Grupos SAF.

Meses hasta recurrencia trombótica



Comparaciones globales^a

	Chi-cuadrado	gl	Sig.
Log Rank (Mantel-Cox)	30,867	2	,000

Prueba de igualdad de distribuciones de supervivencia para diferentes niveles de 3Grupos SAF.

a. Ajustado para Anticoagulacion.

Trombosis Venosa

Regresión Logística Binaria

Variables en la ecuación

		B	E.T.	Wald	gl	Sig.	Exp(B)	I.C. 95,0% para EXP(B)	
								Inferior	Superior
Paso 5	LupusEritematoso(1)	-1,366	,326	17,548	1	,000	,255	,135	,483
	HTA(1)	1,671	,369	20,521	1	,000	5,315	2,580	10,951
	MEDIA_LAC	5,240	,833	39,547	1	,000	188,695	36,854	966,136
	MEDIA_SCT	-1,711	,391	19,114	1	,000	,181	,084	,389
	Constante	-4,153	,867	22,927	1	,000	,016		

a. Variable(s) introducida(s) en el paso 4: HTA.

Resumen de los pasos^{a,b}

Paso	Mejora			Modelo			% de clas. correcta	Variable
	Chi-cuadrado	gl	Sig.	Chi-cuadrado	gl	Sig.		
1							70,2%	IN: Lupus Eritematoso
2	44,924	1	,000	44,924	1	,000	72,4%	IN: MEDIA_LAC
3	35,698	1	,000	80,622	2	,000	77,6%	IN: MEDIA_SCT
4	24,963	1	,000	105,585	3	,000	80,5%	IN: HTA
5	23,010	1	,000	128,595	4	,000		

a. No se pueden eliminar ni añadir más variables al modelo actual.

b. Bloque final: 1

Variables que no están en la ecuación

Paso	Variables	Puntuación	gl	Sig.
5	Hiperlipidemia(1)	,043	1	,836
	MEDIA_IGGACL	,445	1	,504
	MEDIA_IGMACL	1,566	1	,211
	MEDIA_IGG_AB2	,010	1	,922
Estadísticos globales		2,314	4	,678

Pruebas omnibus sobre los coeficientes del modelo

		Chi-cuadrado	gl	Sig.
Paso 5	Paso	23,010	1	,000
	Bloque	128,595	4	,000
	Modelo	128,595	4	,000

Resumen de los modelos

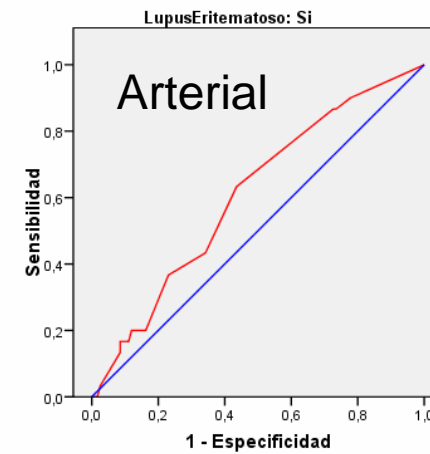
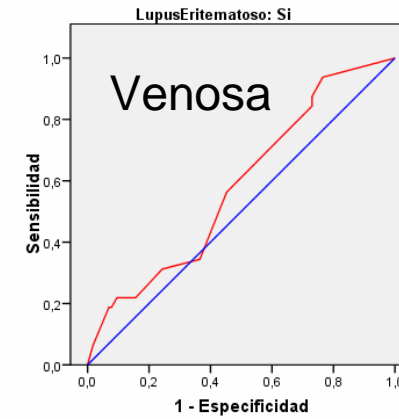
Paso	-2 log de la verosimilitud	R cuadrado de Cox y Snell	R cuadrado de Nagelkerke
5	239,234 ^a	,377	,508

a. La estimación ha finalizado en el número de iteración 6 porque las estimaciones de los parámetros han cambiado en menos de ,001.

Prueba de Hosmer y Lemeshow

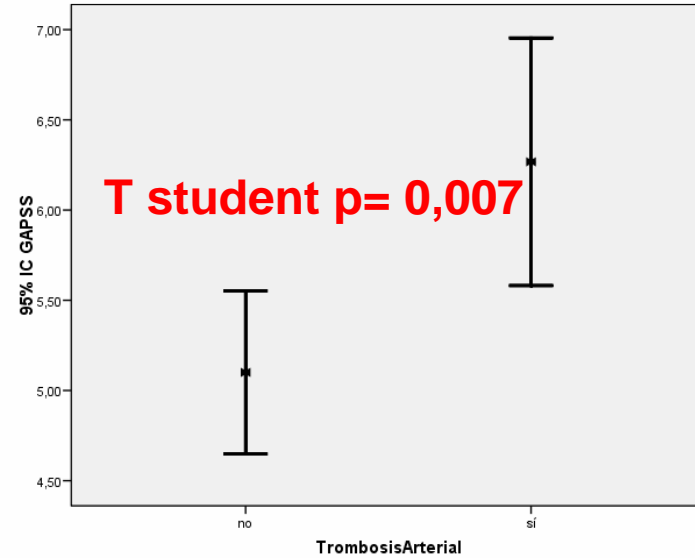
Paso	Chi-cuadrado	gl	Sig.
5	14,531	8	,069

GAPSS*: Trombosis en LES



GAPSS*: Trombosis en LES

Para trombosis arterial
En la muestra global



Meses hasta recurrencia Trombótica

